

## بررسی تحلیلی، تجربی و عددی سازه ساندویچی با هسته لانه‌زنبوری و رویه‌های کامپوزیتی تحت ضربه پرتابه

نساء پیر محمدی<sup>۱</sup>، غلامحسین لیاقت<sup>۲\*</sup>، محمد حسین پل<sup>۳</sup>، هادی صبوری<sup>۴</sup>

۱- دانشجوی کارشناسی ارشد، مهندسی مکانیک، دانشگاه تربیت مدرس، تهران  
 ۲- استاد، مهندسی مکانیک، دانشگاه تربیت مدرس، تهران  
 ۳- استادیار، مهندسی مکانیک، دانشگاه تفرش، تفرش  
 ۴- استادیار، مهندسی مکانیک، دانشگاه پیام نور، تهران  
 \* تهران، صندوق پستی ۱۴۱۱۵-۱۴۱، ghlia530@modares.ac.ir

### چکیده

در این مقاله یک مدل تحلیلی برای تحلیل فرآیند نفوذ پرتابه سرتخت در سازه ساندویچی با رویه‌های کامپوزیتی از جنس الیاف شیشه/ اپوکسی و هسته لانه‌زنبوری براساس مدل انتشار موج ارائه گردیده است. الگوهای تغییر شکل و مکانیزم‌های جذب انرژی در این تحلیل شامل: حرکت دینامیکی هدف، خم و تغییر فرم سازه، لاپیدشدنگی رویه‌های کامپوزیتی، شکست کششی کامپوزیت شیشه/ اپوکسی، جدا شدن رویه‌ها از هسته لانه‌زنبوری، بش لانه‌زنبوری، شکل‌گیری پلاگ در رویه جلویی و تشکیل پتال در رویه پشتی می‌باشد. در این مدل فرآیند نفوذ در سازه ساندویچی به چهار مرحله متوالی تقسیم می‌شود، که معادله حرکت پرتابه در هر مرحله و جرم‌های موثر هسته و رویه‌ها از مکانیک لاغرانزی استخراج شده است. معادلات غیرخطی به دست آمده از هر مرحله، با درنظر گیری وقوع تخریب‌های موضعی و انرژی‌های جذب شده حل شده است. همچنین با استفاده از شبیه‌سازی عددی، فرآیند نفوذ توسط کد اجزاء محدود ال. اس. دینا مدل سازی شده است. برای اطمینان از نتایج حل تحلیلی و مدل سازی عددی نتایج آن‌ها با آزمایش‌های تجربی مقایسه شده است. بررسی‌ها نشان می‌دهد، نتایج روش‌های تجربی، تحلیلی و عددی، انتطاق خوبی با یکدیگر دارند.

### اطلاعات مقاله

مقاله پژوهشی کامل
دربافت: ۱۷ آذر ۱۳۹۲
پذیرش: ۱۶ دی ۱۳۹۳
ارائه در سایت: ۲۲ تیر ۱۳۹۳
کلید واژگان:
مدل تحلیلی
سازه ساندویچی
لانه‌زنبوری
ضریبه سرعت بالا
شبیه‌سازی عددی

## Analytical, experimental and numerical investigation of sandwich panels made of honeycomb core subjected projectile impact

Nesa Pirmohammadi<sup>1</sup>, Gholam Hossien Liaghat<sup>2\*</sup>, Mohammad Hossein Pol<sup>3</sup>, Hadi Sabouri<sup>4</sup>

1- Department of Mechanical Engineering, Tarbiat Modares University, Tehran, Iran.

2- Department of Mechanical Engineering, Tarbiat Modares University, Tehran, Iran.

3- Department of Mechanical Engineering, Tafresh University, Tafresh, Iran.

4- Department of Mechanical Engineering, Payame Noor University, Tehran, Iran.

\* P.O.B. 14115-141 Tehran, ghlia530@modares.ac.ir

### ARTICLE INFORMATION

Original Research Paper

Received 08 December 2013

Accepted 06 January 2014

Available Online 13 July 2014

#### Keywords:

Analytical Model

Sandwich Structures

Honeycomb

High-Velocity Impact

Numerical Simulation

### ABSTRACT

In this paper, ballistic impact on sandwich panel with composite face sheet made of Glass/Epoxy and aluminum honeycomb core has been studied. The solution is derived from a wave propagation model. At first both analytical and numerical solutions were clarified and their results were compared with experimental results. Some deformation patterns, failure modes and energy absorption mechanisms were identified by observation, such as: dynamic movement of the target, stretching, bending deformation, delamination, debonding, shear fracture honeycomb, tensile fracture of Glass/Epoxy and plug and petal formation in composite facings. The solution involves a four-stage and effective masses of the face sheets and core as the shock waves travel through sandwich panel are derived using Lagrangian mechanics. The resulting non-linear differential equation of motion was solved considering the local damage effects and corresponding energy absorptions. Also numerical model, analysis of the penetration process was performed by a nonlinear explicit finite element code, LSDYNA. The results of analytical solution and numerical simulation are compared with experimental tests.

مکانیکی و بالستیکی ویژه بالا (نسبت به وزن) کاربردهای گسترده‌ای در

صنایع خودروسازی، هواپیما و نظامی-تدافعی دارند. این نوع سازه‌ها توانایی

خوبی در تحمل هر دو بارهای درون صفحه‌ای و برون صفحه‌ای را دارند و در

۱- مقدمه سازه‌های ساندویچی شامل دو ورق خارجی با استحکام بالا است که به یک

هسته با چگالی پایین چسبانده شده است. این سازه‌ها بدليل خواص

برای ارجاع به این مقاله از عبارت ذیل استفاده نمایید:

N. Pirmohammadi, Gh.H. Liaghat, M.H. Pol, H. Sabouri, Analytical, experimental and numerical investigation of sandwich panels made of honeycomb core subjected projectile impact, *Modares Mechanical Engineering*, Vol. 14, No. 5, pp. 153-164, 2014 (In Persian)

لانه‌زنیوری و رویه‌های کامپوزیتی ارائه شده است. فرآیند نفوذ به سازه ساندویچی در این مدل به چهار مرحله متوالی تقسیم می‌شود، که معادله حرکت پرتابه در هر مرحله و جرم‌های موثر هسته و رویه‌ها از مکانیک لاغرانژی استخراج شده است. این تئوری علاوه بر مکانیزم‌های جذب انرژی، شامل خمش و شکست رویه‌های کامپوزیتی و مچاله‌شدگی لانه‌زنیوری، انرژی‌های هدر رفته در اثر لایه شدگی رویه‌های کامپوزیتی و جدایش بین هسته و رویه‌ها را در بر می‌گیرد. همچنین در شبیه‌سازی عددی، مدل دقیقی از گلوله و هدف تهیه شده است. این مدل، توانایی تعیین مودهای تحریب عمومی، موضعی و مکانیزم‌های جذب انرژی را دارا می‌باشد. در نهایت نتایج مدل تحلیلی و عددی با نتایج آزمایش‌های تجربی مقایسه شده است.

## ۲-آزمایش ۱-مواد

### ۱-۱-کامپوزیت

در این تحقیق از کامپوزیت شیشه‌اپوکسی با بافت دوبعدی (خواص هر دو جهت کاملاً یکسان) استفاده شده است. در جدول ۱ مشخصات مکانیکی کامپوزیت ساخته شده آورده شده است.

### ۲-لانه‌زنیوری

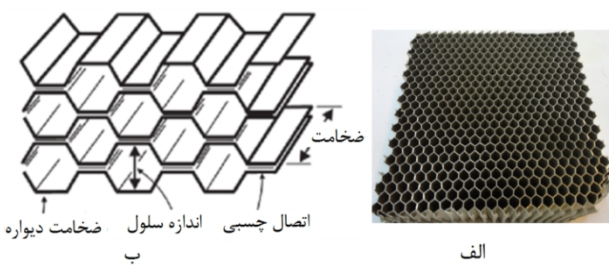
لانه‌زنیوری استفاده شده از جنس آلومینیوم ۵۰۵۲ و مدل H38 می‌باشد (شکل ۱). ویژگی‌های این آلومینیوم در جدول ۲ آورده شده است.

جدول ۱ خواص مکانیکی کامپوزیت [۹]

مشخصات کامپوزیت	
۲	ضخامت (mm)
۱۰	تعداد لایه‌ها
۱۷۰۰	چگالی (kg/m³)
$E_{33}=7/48$ و $E_{11}=E_{22}=17$	مدول الاستیسیته (GPa)
$G_{13}=G_{23}=1/73$ و $G_{12}=4$	مدول برشی (GPa)
$v_{23}=0/28$ و $v_{12}=v_{31}=0/12$	ضریب پواسون
$\tau_{13f}=\sigma_{1f}=270$	تنش کششی نهایی (MPa)
$\tau_{13f}=\tau_{23f}=45$ و $\tau_{12f}=51$	تنش برشی نهایی (MPa)
$ILSS=20$	تنش برشی بین لایه‌ای <sup>(*)</sup> (MPa)
[۹] مرجع	

جدول ۲ ویژگی‌های آلومینیوم استفاده شده در لانه‌زنیوری [۹]

نوع ماده	
AL5052	مدول الاستیسیته (GPa)
۷۰	تنش تسلیم (MPa)
۲۵۵	تنش کششی نهایی (MPa)
۲۹۰	تنش برشی نهایی (MPa)
۱۶۰	چگالی (kg/m³)
۲۶۸۰	



شکل ۱ (الف) تصویر واقعی لانه‌زنیوری و (ب) تصویر شماتیک لانه‌زنیوری

برابر فشار مقاومت نسبتاً بالایی دارد [۱].

لانه‌زنیوری شبکه‌هایی از سلول‌های میان تنهی است که از اتصال ورقه‌های بسیار نازک از یک ماده به یکدیگر تشکیل شده است. مقاومت به لهشگی بالا در مقایسه با وزن کم، لانه‌زنیوری‌ها را از دیگر سازه‌ها متمایز کرده است. بدليل اینکه لانه‌زنیوری به تنهایی خواص بالستیکی مناسبی ندارد، معمولاً با افزودن لایه‌های رویی و پشتی (فلزی، سرامیکی و کامپوزیتی) به کار گرفته می‌شوند. در واقع هر یک از اجزاء سازه ساندویچی به تنهایی کارایی ضعیفی دارند اما وقتی با هم استفاده می‌شوند، سازه‌ای با سفتی بالا و در عین حال سبک تشکیل می‌دهند. همچنین با افزودن لانه‌زنیوری به کامپوزیت ممان سطح سازه افزایش می‌یابد، در نتیجه سفتی خمی سازه ساندویچی بیشتر می‌شود.

تعدادی از تحقیقات انجام شده در رابطه با رفتار بالستیکی کامپوزیت‌ها و ساختارهای ساندویچی به صورت زیر است:

نایک و همکارانش [۲] ضربه بالستیک روی کامپوزیت با الیاف بافته شده را به روش تحلیلی مورد بررسی قرار دادند. مدل ارائه شده توسط آن‌ها بر مبنای تئوری امواج و قانون بقاعی انرژی است. پل و همکارانش [۳] یک مدل تحلیلی برای نفوذ پرتابه‌های سر تخت در مواد مرکب چند لایه شیشه‌اپوکسی، براساس تقسیم مدت زمان نفوذ به جزء‌های کوچک و محاسبه انرژی جذب شده توسط هدف ارائه کرد. ردی و ون [۴] نفوذ استاتیکی، ضربه سرعت پایین و سرعت بالا روی سازه ساندویچی با هسته فوم و رویه‌های بافته شده از شیشه‌اپوکسی را مطالعه کردند. آن‌ها انرژی جذب شده در نفوذ را به دو بخش تقسیم کردند: بخشی مربوط به آسیب ساندویچ و بخشی دیگر، انرژی پاسخ الاستیک که با تغییر شکل سراسری و انرژی جنبشی سازه رابطه دارد. کپلر و همکاران [۵] یک مدل نیمه تحلیلی برای تعیین مقدار انرژی جذب شده توسط ساندویچ تحت ضربه سرعت بالا ارائه کردند. آن‌ها فرض کردند که می‌توان کل انرژی جذب شده توسط سازه ساندویچی را به دو بخش، انرژی واکنش الاستیک و انرژی آسیب تقسیم کرد. فت و سیروولو [۶] یک روش کاملاً تحلیلی برای پیش‌بینی سرعت باقی‌مانده یک پرتابه استوانه‌ای با دماغه نیمه‌کروی در برخورد با یک سازه ساندویچی از هسته فوم و رویه‌های کامپوزیتی در سرعت بالا ارائه کردند. آن‌ها برای حل از مدل انتشار موج استفاده کردند. این مدل انرژی‌های خمش و شکست رویه‌های کامپوزیتی و لهشگی فوم را درنظر می‌گیرد، اما آسیب‌های به عنوان جدایش جدایش، لایه‌شدگی رویه جلویی و پشتی و تأثیرات نرخ کرنش در خواص سازه ساندویچی را شامل نمی‌شود. فعلی و نامداری [۷] یک مدل تحلیلی برای بررسی رفتار سازه ساندویچی با هسته لانه‌زنیوری که در معرض ضربه عمودی سرعت بالا قرار داشت، ارائه کردند. این مدل انرژی‌های لایه‌شدگی رویه‌های کامپوزیتی و جدایش بین رویه و هسته را در بر نمی‌گیرد. بویتراگو و همکارانش [۸] ضربه سرعت بالا را بر روی سازه ساندویچی مت Shank از هسته لانه‌زنیوری و رویه‌های کربن‌اپوکسی را به صورت عددی و تجربی بررسی کردند. در بررسی عددی مدل سه‌بعدی از هدف را با نرم‌افزار آپاکوس شبیه‌سازی و نتایج عددی و تجربی را با هم مقایسه نمودند.

با توجه به تحقیقات صورت گرفته دو مدل کاملاً تحلیلی (مدل فت و سیروولو [۶] و مدل فعلی و نامداری [۷]) برای فرآیند نفوذ پرتابه در سازه ساندویچی با رویه‌های کامپوزیتی وجود دارد. اما هر دو مدل جدایش رویه‌ها و هسته و لایه‌شدگی رویه‌های کامپوزیتی را در نظر نمی‌گیرند. در این مقاله مدل تحلیلی برای نفوذ پرتابه سر تخت به سازه ساندویچی با هسته

### ۳-۱-۲- صفحات ساندویچی

لانه‌زنیوری‌ها و صفحات کامپوزیتی در اندازه‌های  $7/5 \times 7/5 \text{ cm}^2$  بریده شده‌اند و توسط چسب فنولیک تحت فشار زیاد به هم چسبانده شده‌اند (شکل ۳). چسب استفاده شده دارای استحکام برشی  $25 \text{ MPa}$  می‌باشد [۹].

### ۲-۲- آزمایش‌های بالستیک

آزمایش‌های بالستیک در دانشگاه تربیت مدرس با استفاده از دستگاه تفنگ گازی انجام شده است. هنگام آزمایش هر یک از صفحات هدف، درون یک نگهدارنده به ابعاد  $65 \times 65 \text{ mm}^2$  به طور ثابت قرار می‌گیرد. پرتا به یک استوانه فولادی سرتخت به طول  $10 \text{ mm}$ ، قطر  $15 \text{ mm}$ ، جرم  $10 \text{ gr}$  و سختی  $8/5$  RC می‌باشد. برخورد در سرعت‌های مختلف، نزدیک حد بالستیک و سرعت‌های بیش از حد بالستیک اهداف بوده و هر دو سرعت‌های اولیه و باقیمانده در آزمایش‌ها اندازه‌گیری شده است.

برای بدست آوردن سرعت حد بالستیک سازه ساندویچی ابتدا در چند سرعت آزمایش‌هایی انجام گرفت سپس با استفاده از رابطه ۱ (رابطه رشت-ایپسون) حد بالستیک به صورت تقریبی تخمین زده شد. سپس در برخورد بعدی سرعت کاوش و یا افزایش داده شد تا نفوذ کامل انجام گیرد به طوری که سرعت باقیمانده صفر گردد، در این صورت سرعت اولیه پرتا به سرعت حد بالستیک نامیده می‌شود [۱۲].

$$v_{50} = \sqrt{v_0^2 - \frac{m_0 + m_{plug}}{m_0} v_r^2} \quad (1)$$

در رابطه ۱،  $v_{50}$  سرعت حد بالستیک،  $v_0$  سرعت ورودی و  $v_r$  سرعت خروجی پرتا به می‌باشد.  $m_0$  و  $m_{plug}$  به ترتیب جرم پرتا به و جرم پلاگ تشکیل شده در اثر برخورد گلوله سرتخت است.

جدول ۴ نتایج آزمایش‌های انجام شده بر روی صفحات ساندویچی شامل سرعت‌های ورودی و خروجی را نشان می‌دهد. در این جدول برای هر سرعت پرتا به حداقل ۴ بار آزمایش تکرار شده است و میانگین مقادیر آن‌ها در نظر گرفته شده است.

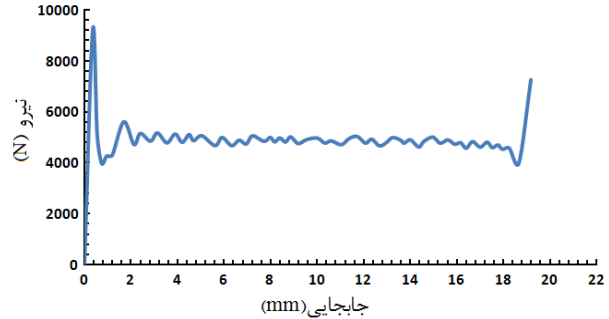
با توجه به جدول ۴، سرعت حد بالستیک برای صفحه ساندویچی تقریباً برابر با  $164 \text{ m/s}$  است. بدليل شکل سر پرتا به و بزرگی سطح مقطع پرتا به نسبت به اندازه سلول‌های لانه‌زنیوری (حدود  $3/175$ )، سرعت حد بالستیک به محل اصابت گلوله وابسته نیست [۱۳]. شکل ۴ تصویر سازه ساندویچی پس از نفوذ گلوله در سرعتی نزدیک به حد بالستیک را نشان می‌دهد.

### ۳- تئوری مسئله

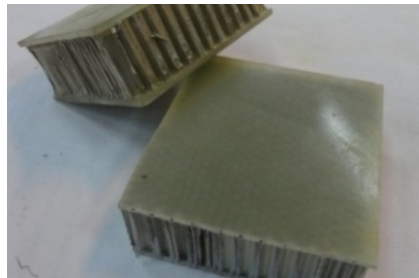
ساندویچ نشان داده شده در شکل ۵ را در نظر بگیرید. رویه‌ها از کامپوزیت و هسته از لانه‌زنیوری می‌باشد. پرتا به به شکل استوانه و با نوک سرتخت می‌باشد. شعاع پرتا به در مقایسه با ضخامت هسته کوچک است و طول پرتا به از مرتبه ضخامت هسته است. پرتا به در مقایسه با سازه ساندویچی، صلب است و در طی فرایند نفوذ تغییر شکل نمی‌دهد.

mekanizmehای جذب انرژی که در نفوذ ساندویچ اتفاق می‌افتد شامل: انرژی واکنش الاستیک شامل تغییر شکل سراسری و حرکت دینامیکی هدف، لایه لایه شدن رویه‌ها<sup>۱</sup>، جدایش رویه و هسته<sup>۲</sup>، شکست برشی هسته، له شدن هسته<sup>۳</sup>، کشیدگی الیاف<sup>۴</sup> رویه‌های کامپوزیتی، اصطکاک بین پرتا به و هدف، تشکیل پلاگ<sup>۵</sup> رویه جلویی و تشکیل پتانل<sup>۶</sup> در رویه پشتی می‌باشد.

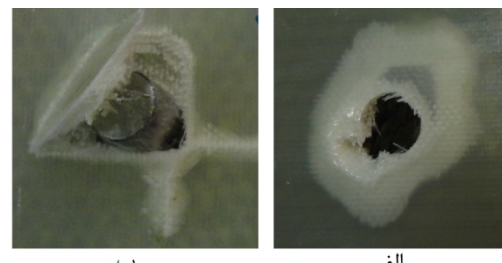
- 1- Delamination
- 2- Debonding
- 3- Crushing
- 4- Fiber stretching
- 5- Plugging
- 6- Petaling



شکل ۲ نمودار نیرو-جا به جایی لانه‌زنیوری [۱۱]



شکل ۳ صفحات ساندویچی ساخته شده



الف

شکل ۴ (الف) جلوی هدف و (ب) پشت هدف در سرعت ورودی (m/s) ۱۶۵

جدول ۳ خواص مکانیکی لانه‌زنیوری [۱]

مشخصات لانه‌زنیوری
ارتفاع (mm)
۲۵/۴
چگالی (kg/m <sup>3</sup> )
۵۰
اندازه سلول (mm)
۳/۱۷۵
ضخامت جداره سلول (mm)
۰/۰۸
مدول الاستیسته فشاری (GPa)
$E_{33}=517$
تنش مجاله شوندگی (MPa)
۴/۹۴
کرنش مجاله شوندگی
۰/۷۱
تنش برشی نهایی لانه‌زنیوری (MPa)
$\tau_{13}=2/41$

جدول ۴ نتایج آزمایش‌های بالستیک بر روی صفحات ساندویچی

شماره	سرعت ورودی (m/s)	سرعت خروجی (m/s)
۱	۱۸۷	۵۸/۲
۲	۱۸۰	۶۹/۱
۳	۱۶۹	۳۷/۸
۴	۱۶۴	.

تنش و کرنش مجاله شوندگی لانه‌زنیوری از خواص مهم لانه‌زنیوری است، که در مرجع [۱۱] برای بدست آوردن این خواص، لانه‌زنیوری به ابعاد  $3/3 \times 3/3 \text{ cm}^2$  و ارتفاع  $25/4 \text{ mm}$  تحت آزمایش فشار در سرعت بارگذاری  $2/5 \text{ میلیمتر در دقیقه}$  قرار گرفته است. شکل ۲ نمودار نیرو-جا به جایی حاصل از آزمون فشار را نشان می‌دهد. سایر خواص مکانیکی لانه‌زنیوری در جدول ۳ آورده شده است.

در مرحله اول فقط نفوذ موضعی اتفاق می‌افتد، به عبارت دیگر رویه جلویی درست زیر پرتابه تغییر شکل می‌دهد و هسته له می‌شود، مثل این که رویه پشتی ساندویچ، به بستر صلب تکیه کرده است (شکل ۶ الف). در این مرحله عمق نفوذ موضعی زیر پرتابه با  $\delta$  و گستره عرضی تغییر شکل با  $\zeta$  نشان داده است. وقتی موج تنش فشاری به رویه پشتی رسید، تغییر شکل سراسری صفحه (خمشی و برشی) شروع می‌شود (شکل ۶ ب). این تغییر شکل مستقل از تغییر شکل موضعی در شکل ۶ الف می‌باشد. خیز سراسری زیر پرتابه با  $\delta$  و گستره عرضی تغییر شکل سراسری با  $\zeta$  نشان داده می‌شود. تغییر شکل موضعی و سراسری در شکل ۶ پ همزمان نشان داده شده است.

اگر سرعت برخورد پرتابه بیش از حد بالستیک باشد، تغییر شکل سراسری اتفاق نمی‌افتد، زیرا شکست موضعی رویه جلویی و شکست برشی هسته زیر پرتابه در مرحله اول از تغییر شکل سراسری جلوگیری می‌کند. شکل ۷ ترتیب واماندگی در طول نفوذ پرتابه را نشان می‌دهد، که به چهار مرحله تقسیم‌بندی می‌شود. وقتی سرعت برخورد فراتر از حد بالستیک باشد، ابتدا رویه جلویی زیر پرتابه به علت تنش‌های بالای غشایی (تنش‌های صفحه‌ای)، گسیخته می‌شود (شکل ۷ الف). در مرحله دوم موج تنش فشاری الاستیک و پلاستیک از زیر پرتابه به هسته منتشر می‌شود، سپس هسته دچار شکست برشی شده و به طور موضعی هسته زیر پرتابه متراکم می‌شود (شکل ۷ ب). در مرحله سوم رویه پشتی در نتیجه بار منتقل شده توسط پرتابه و پلاگ تشکیل شده از هسته جدا می‌شود (شکل ۷ پ). سرانجام وقتی که تنش‌های غشایی در رویه پشتی از مقادیر بحرانی تجاوز کند، گسیخته می‌شود و پلاگ و پلاگ و پرتابه از ساندویچ خارج می‌شود (شکل ۷ ت).

### ۳- فرمول‌بندی مسئله

زمان انتقال موج ضربه از سازه با استفاده از رابطه ۲ محاسبه می‌گردد:

$$t_1 = \frac{2h}{C_f} + \frac{H}{C_d} \quad (2)$$

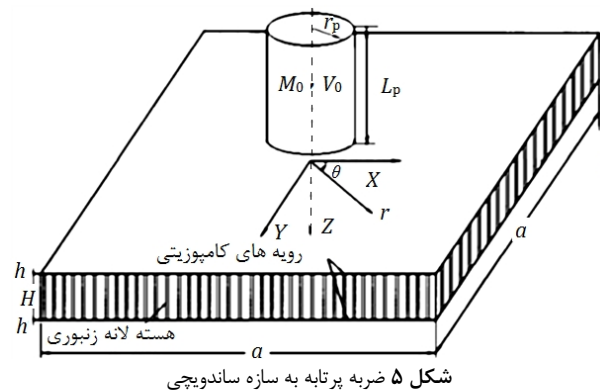
که در آن  $C_f$  و  $C_d$  بهترتیب سرعت موج عرضی هنگام عبور از رویه‌های کامپوزیتی و هسته است. سرعت موج عرضی در مواد کامپوزیتی با استفاده از رابطه ۳ محاسبه می‌شود [۱۴].

$$C_f = \sqrt{\frac{E_{33}(1 - v_{12}v_{21})}{\rho_f(1 - v_{12}v_{21} - v_{23}v_{32} - v_{13}v_{31} - 2v_{21}v_{32}v_{13})}} \quad (3)$$

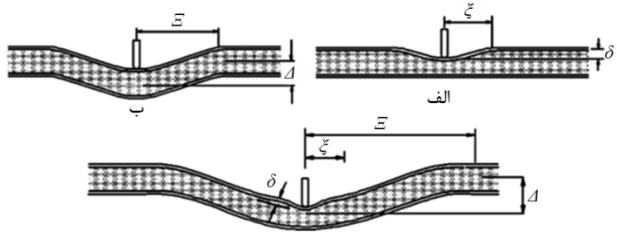
که در آن  $E_{33}$  و  $v_{ij}$  و  $\rho_f$  بهترتیب ضربه پواسون، مدول الاستیسیته و چگالی رویه‌ها می‌باشد. سرعت موج عرضی در لانه‌زنبوری توسط تنش مچاله‌شدنگی آن محاسبه می‌شود. بدلیل این که لانه‌زنبوری یک ماده با خواص الاستیک و پلاستیک می‌باشد، سرعت موج عرضی در هسته شامل سرعت موج الاستیک و پلاستیک خواهد بود. سرعت موج الاستیک و پلاستیک بهترتیب  $\frac{E_c}{\rho_c}$  و  $C_p$  می‌باشند. که  $E_c$  مدول الاستیسیته در جهت ضخامت لانه‌زنبوری، چگالی،  $\rho_c$  کرنش چین‌خوردگی و  $\sigma_D$  استحکام نهایی لانه‌زنبوری می‌باشد. معمولاً سرعت موج الاستیک از سرعت موج پلاستیک بیشتر است و سرعت عبور موج از هسته در معادله ۲ سرعت موج الاستیک است.

### ۳-۱- مرحله اول نفوذ

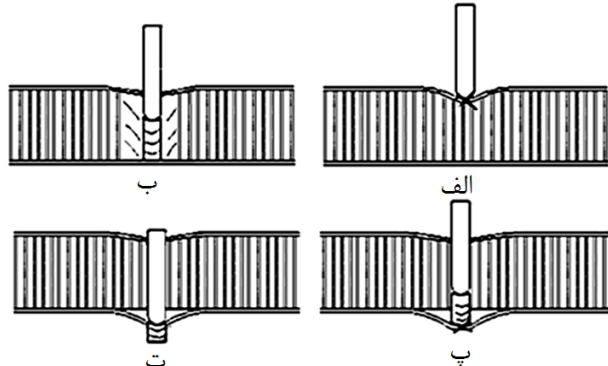
سازه ساندویچی در مرحله اول نفوذ دارای تغییر شکل موضعی (شکل ۷ الف) می‌باشد. در این حالت رویه کامپوزیتی روی هسته لانه‌زنبوری قرار دارد. مقدار فرورفتگی موضعی با  $\delta$  و میزان تغییر شکل جانبی با  $\zeta$  نشان داده شده



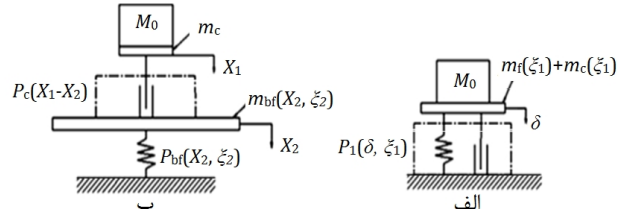
شکل ۵ ضربه پرتابه به سازه ساندویچی



شکل ۶ (الف) فرورفتگی موضعی، (ب) تغییر شکل خمشی-برشی سراسری و (پ) تغییر شکل‌های موضعی و سراسری [۱۴]



شکل ۷ (الف) شکست رویه جلویی، (ب) شکست برشی و له شدن موضعی هسته، (پ) گسیختگی رویه پشتی و (ت) خروج پرتابه و تشکیل پلاگ



شکل ۸ (الف) یک درجه آزادی برای تغییر شکل موضعی و (ب) دو درجه آزادی برای تغییر شکل موضعی و سراسری [۱۴]

اگر ضربه وارد شده به سازه ساندویچی سرعت کمی داشته باشد به گونه‌ای که باعث تخریب و شکسته شدن اجزاء سازه نشود، در مراحل اولیه ضربه، موج تنش فشاری زیر پرتابه ایجاد می‌شود. این موج قبل از این که امواج خمشی و برشی سراسری به طور جانبی در ساندویچ حرکت کند، از داخل رویه بالایی و هسته و رویه پشتی عبور می‌کند. بنابراین هنگام ضربه به سازه‌های ساندویچی، دو مرحله وجود دارد: انتشار موج در امتداد ضخامت<sup>۱</sup> سازه و انتشار موج عرضی<sup>۲</sup>.

1- Through-thickness waves  
2- Lateral wave

جذب می‌کند، اما در ضربه سرعت بالا، انرژی الاستیک در مقایسه با انرژی پلاستیک بسیار کوچک است و می‌توان از آن صرف‌نظر کرد. بنابراین انرژی جذب شده توسط هسته برابر است با:

$$D_p = 2\pi \int_0^\xi q \epsilon_D C_p t \left(1 - \frac{r}{\xi}\right) r dr = \frac{\pi q \epsilon_D C_p t}{3} \xi^2 \quad (14)$$

که در آن  $q$  تنش مچالش‌گی لانه‌زنیوری است. با جایگزینی  $C_p$  از معادله ۱- داریم:

$$D_p = \frac{\pi q \delta \xi^2}{3} \quad (15)$$

با قرار دادن معادله‌های ۱۱ و ۱۵ در معادله ۷ انرژی پتانسیل برابر خواهد شد با:

$$\Pi = \bar{D} \frac{\delta^2(\xi - 2r_p)^2}{\xi^4} + \bar{A} \frac{\delta^4(\xi - 2r_p)^6}{\xi^8} + \frac{\pi q \delta \xi^2}{3} \quad (16)$$

با قرار دادن معادله‌های ۶ و ۱۶ در معادله لاغرانژ داریم:

$$(M_0 + m_f + m_c) \frac{d^2 \delta}{dt^2} + \left( \frac{dm_f}{dt} + \frac{dm_c}{dt} \right) \frac{d\delta}{dt} + 2\bar{D} \frac{\delta(\xi - 2r_p)^2}{\xi^4} + 4\bar{A} \frac{\delta^3(\xi - 2r_p)^6}{\xi^8} + \frac{\pi q \xi^2}{3} = 0 \quad (17)$$

با قرار دادن معادله‌های الف-۴ و الف-۹ در معادله ۱۷ داریم:

$$\begin{aligned} & \left( M_0 + \frac{\pi \rho_f h}{6} \xi^2 + \frac{\pi \rho_c \delta}{10 \epsilon_D (1 - \epsilon_D)} \xi^2 \right) \frac{d^2 \delta}{dt^2} \\ & + 2\xi \frac{d\xi}{dt} \left( \frac{\pi \rho_f h}{6} + \frac{\pi \rho_c \delta}{10 \epsilon_D (1 - \epsilon_D)} \right) \frac{d\delta}{dt} \\ & + \frac{\pi \rho_c \xi^2}{10 \epsilon_D (1 - \epsilon_D)} \left( \frac{d\delta}{dt} \right)^2 \\ & + 2\bar{D} \frac{\delta(\xi - 2r_p)^2}{\xi^4} + 4\bar{A} \frac{\delta^3(\xi - 2r_p)^6}{\xi^8} \\ & + \frac{\pi q \xi^2}{3} = 0 \end{aligned} \quad (18)$$

با اصل بقای اندازه حرکت خطی می‌توان  $\xi$  را محاسبه کرد:

$$M_0 V_0 = M_0 V_1 + \frac{\pi \rho_f h \xi^2}{3} V_1 + \frac{\pi \rho_c \delta \xi^2}{6 \epsilon_D (1 - \epsilon_D)} V_1 \quad (19)$$

$$\xi^2 = \frac{M_0 (V_0 - V_1)}{\left[ \frac{\pi \rho_f h \xi^2}{3} + \frac{\pi \rho_c \delta \xi^2}{6 \epsilon_D (1 - \epsilon_D)} \right] V_1} \quad (20)$$

با قرار دادن معادله ۲۰ در معادله ۱۸ تمامی جملات آن بر حسب  $\delta$  می‌شود.

با توجه به وجود مشتق دوم زمانی، دو شرط اولیه برای حل معادله دیفرانسیل به دست آمده مورد نیاز خواهد بود. در اولین لحظه تماس گلوله با هدف، مقداری از هدف که در تماس با پیشانی گلوله قرار دارد، حرکت نکرده، اما سرعت اولیه‌ای خواهد گرفت که از بقای مونتموم خطی تعیین می‌گردد:

$$\delta(0) = 0 \quad (21)$$

$$\frac{d\delta}{dt}(0) = M_0 V_0 / \left( M_0 + \frac{\pi \rho_f h}{3} \left( \frac{r_p}{2} \right)^2 \right) \quad (22)$$

از آنجا که معادله ۱۸ در گروه معادلات دیفرانسیل کلاسیک قرار نمی‌گیرد، از روش‌های عددی برای حل آن استفاده خواهد شد. تحلیل فرآیند نفوذ، تنها بر مبنای حل این معادله نمی‌باشد، بلکه در حین نفوذ می‌باشد مکانیزم‌های تخریب کامپوزیت را نیز مورد توجه قرار داد. این مرحله تا زمانی ادامه دارد که کامپوزیت جلویی دچار شکست شود.

هچنین نیروی تنسی میان گلوله و هدف در هر لحظه برابر است با:

$$F(t) = -M_0 \frac{d^2 \delta}{dt^2} \quad (23)$$

### ۳-۱-۳- مرحله دوم نفوذ

در این مرحله صفحه رویی دچار شکست شده است و هسته در حال فشرده شدن می‌باشد. این مرحله تا زمانی ادامه دارد که هسته دچار برش شود. انرژی جنبشی در این مرحله شامل انرژی جنبشی پرتتابه و جرم مؤثر

است. در شکل ۸ درجهات آزادی مدل تحلیلی در تغییر شکل موضعی و سراسری نشان داده شده است.

برای تمامی سیستم‌های پاسیو معادله انرژی برابر است با:

$$L = T - \Pi \quad (4)$$

که در آن  $T$  و  $\Pi$  به ترتیب انرژی جنبشی و انرژی پتانسیل سیستم می‌باشد و هر دو انرژی تابعی از جابه‌جاوی یعنی  $X$  هستند. همچنین طبق معادله لاغرانژ خواهیم داشت:

$$\frac{\partial}{\partial t} \left( \frac{\partial L}{\partial v} \right) - \frac{\partial L}{\partial x} = 0 \quad (5)$$

که در آن  $v = dX/dt$  یا سرعت می‌باشد. در مرحله اول انرژی جنبشی شامل

انرژی جنبشی پرتتابه، کامپوزیت جلویی و هسته می‌باشد.

$$T = \frac{1}{2} M_0 V_1^2 + \frac{1}{2} m_f V_1^2 + \frac{1}{2} m_c V_1^2 \quad (6)$$

که در آن  $V_1$  سرعت لحظه‌ای پرتتابه،  $M_0$  جرم پرتتابه،  $m_f$  جرم مؤثر کامپوزیت و  $m_c$  جرم مؤثر هسته می‌باشد. محاسبه جرم مؤثر کامپوزیت و جرم مؤثر هسته به ترتیب در پیوست ۸-الف و پیوست ۸-ب بیان شده است.

انرژی پتانسیل سیستم  $\Pi$ ، شامل انرژی کرنشی الاستیک رویه جلویی  $D_p$  می‌باشد.

$$\Pi = U_I + D_p \quad (7)$$

فرض می‌شود تغییر شکل داخل صفحه در مقایسه با تغییر شکل خمشی قابل صرف‌نظر کردن است. انرژی کرنشی ورق کامپوزیتی از روابط کلاسیک تئوری ورق و پوسته برابر است با [۱۵]:

$$\begin{aligned} U_I = & \frac{1}{2} \int_S \left[ D_{11} \left( \frac{\partial^2 w}{\partial x^2} \right)^2 + 2D_{12} \frac{\partial^2 w}{\partial x^2} \frac{\partial^2 w}{\partial y^2} + D_{22} \left( \frac{\partial^2 w}{\partial y^2} \right)^2 \right. \\ & \left. + 4D_{66} \left( \frac{\partial^2 w}{\partial x \partial y} \right)^2 \right] dS + \frac{1}{8} \int_S \left[ A_{11} \left( \frac{\partial w}{\partial x} \right)^4 \right. \\ & \left. + A_{22} \left( \frac{\partial w}{\partial y} \right)^4 + (2A_{12} \right. \\ & \left. + 4A_{66}) \left( \frac{\partial w}{\partial x} \right)^2 \left( \frac{\partial w}{\partial y} \right)^2 \right] dS \end{aligned} \quad (8)$$

که در آن  $w$  و  $A_{ij}$  سفتی خمشی و سفتی غشایی کامپوزیت می‌باشد.

از آنجایی که رویه کامپوزیتی در اثر اثابت گلوله تغییر فرم نسبتاً زیادی می‌دهد و پس از تغییر فرم در وضعیت غشایی قرار می‌گیرد، پروفیل تغییر فرم سازه با توجه به شکل هندسی آن، با معادله ۹ تعریف می‌گردد:

$$w(x, y) = \begin{cases} 80 \leq x \leq r_p, 0 \leq y \leq r_p \\ \delta_0 \left( 1 - \frac{2x}{a} \right)^2 \left( 1 - \frac{2y}{a} \right)^2 r_p \leq x \leq \frac{a}{2}, r_p \leq x \leq \xi \end{cases} \quad (9)$$

که در آن  $\delta$  خیز صفحه ساندویچی در زیر گلوله می‌باشد. مقدار  $\delta_0$  را می‌توان با استفاده از شرایط یکی از لبه‌های محل تماس گلوله (به عنوان مثال لبه  $(0, r_p)$ ) تعیین نمود:

$$w(r_p, 0) = \delta_0 \left( 1 - \frac{2r_p}{a} \right)^2 (1 - 0) = \delta \quad (10)$$

$$\delta_0 = \frac{\delta}{\left( 1 - \frac{2r_p}{a} \right)^2} \quad (11)$$

با جایگزینی معادله ۹ در معادله ۸ انرژی کرنشی صفحه کامپوزیتی برابر است با [۶]:

$$U_I = \bar{D} \frac{\delta^2(\xi - 2r_p)^2}{\xi^4} + \bar{A} \frac{\delta^4(\xi - 2r_p)^6}{\xi^8} \quad (12)$$

$$\bar{D} = \frac{32[9(D_{11} + D_{22}) + 10(D_{12} + 8D_{66})]}{45} \quad (13)$$

$$\bar{A} = \frac{8[196(A_{11} + A_{22}) + 360(A_{12} + 2A_{66})]}{2205} \quad (14)$$

هسته لانه‌زنیوری، هر دو انرژی کرنشی الاستیک و پلاستیک را در مرحله اول

$$\left( M_0 + \frac{\pi r_p^2 \rho_c (X_1 - X_2)}{(1 - \varepsilon_D) \varepsilon_D} \right) \frac{d^2 X_1}{dt^2} + \frac{\pi r_p^2 \rho_c}{(1 - \varepsilon_D) \varepsilon_D} \frac{dX_1}{dt} + \pi r_p^2 q = 0 \quad (34)$$

$$\frac{\pi r_p^2 \rho_c}{2(1 - \varepsilon_D) \varepsilon_D} V_1 V_2 + 2\bar{D} \frac{(\xi - 2r_p)^2}{\xi^4} X_2 + 4\bar{A} \frac{(\xi - 2r_p)^6}{\xi^8} X_2^3 - \pi r_p^2 q = 0 \quad (35)$$

معادلات حرکت در این مرحله تا زمانی قابل استفاده است که موج پلاستیک از لانه‌زنیوری عبور کرده و به کامپوزیت پشتی برسد. بنابراین شرط رسیدن موج پلاستیک به رویه پشتی برابر است با:

$$H - (X_1 - X_2) = C_p t = \frac{V_1}{\varepsilon_D} t \quad (36)$$

این شرط برای حل معادلات ۳۴ و ۳۵ کافی است و نیازی به استفاده از معیارهای تخریب نمی‌باشد.

#### ۳-۱-۳- مرحله چهارم نفوذ

این مرحله، مرحله پایانی نفوذ است که رویه کامپوزیت پشتی تخریب می‌شود و پرتا به از سازه ساندویچی خارج می‌گردد. انرژی جنبشی در این مرحله برابر است با:

$$T = \frac{1}{2} (M_0 + m_p) V_2^2 + \frac{1}{2} m_f V_2^2 \quad (37)$$

که در آن  $m_f$  بهترتیب جرم پلاگ و جرم مؤثر رویه کامپوزیت می‌باشد. جرم پلاگ برابر  $m_f = \pi r_p^2 \rho_c H$  و جرم مؤثر رویه کامپوزیت می‌باشد.

انرژی پتانسیل سیستم در این مرحله شامل انرژی خمشی و غشایی رویه پشتی است.

$$\Pi = \frac{(\xi - 2r_p)^2}{\xi^4} X_2^2 + \bar{A} \frac{(\xi - 2r_p)^6}{\xi^8} X_2^4 \quad (38)$$

با قرار دادن معادله ۳۷ و ۳۸ در معادله لاغرانژ داریم:

$$\left( M_0 + m_p + \frac{\pi \rho_f h \xi^2}{6} \right) \frac{d^2 X_2}{dt^2} + \frac{\pi \rho_f h}{6} \left( 2\xi \frac{d\xi}{dt} \right) \frac{dX_2}{dt} + 2\bar{D} \frac{(\xi - 2r_p)^2}{\xi^4} X_2 + 4\bar{A} \frac{(\xi - 2r_p)^6}{\xi^8} X_2^3 - \pi r_p^2 q = 0 \quad (39)$$

از قانون بقای اندازه حرکت خطی داریم:

$$(M_0 + m_p) V_{1III} + \frac{\pi \rho_f h}{3} \xi_{III}^2 V_{2III} = \left( M_0 + m_p + \frac{\pi \rho_f h}{3} \xi^2 \right) V_2 \quad (40)$$

که  $V_{1III}$  و  $V_{2III}$  سرعت‌ها و جابه‌جایی در انتهای مرحله سوم نفوذ می‌باشد. بنابراین  $\xi$  برابر است با:

$$\xi^2 = \frac{3}{\pi \rho_f h V_2} \left[ (M_0 + m_p) V_{1III} + \frac{\pi \rho_f h}{3} \xi_{III}^2 V_{2III} - (M_0 + m_p) V_2 \right] \quad (41)$$

با قرار دادن معادله ۴۱ در معادله ۳۹ داریم:

$$(M_0 + m_p) \frac{d^2 X_2}{dt^2} + 2\bar{D} \frac{(\xi - 2r_p)^2}{\xi^4} X_2 + 4\bar{A} \frac{(\xi - 2r_p)^6}{\xi^8} X_2^3 - \pi r_p^2 q = 0 \quad (42)$$

شرایط اولیه جابه‌جایی و سرعت اولیه برای حل معادله ۴۲ از مرحله سوم محاسبه می‌شود. همچنین در حین نفوذ می‌باشد مکانیزم‌های تخریب کامپوزیت را نیز مورد توجه قرار داد. با حل این معادله سرعت خروجی پرتا به از سازه ساندویچی محاسبه می‌شود.

#### ۳-۱-۴- تخریب قسمت کامپوزیتی

رابطه بور و لاغس در حالت دوبعده به عنوان معیار تخریب قسمت کامپوزیتی اختیار شده است. با توجه به اینکه کامپوزیت مورد استفاده دارای بافت دوبعده می‌باشد و تمامی خواص دو جهت آن یکسان است، معیار تخریب مورد استفاده برابر خواهد شد با [۱۶]:

هسته می‌باشد بنابراین:

$$T = \frac{1}{2} M_0 V_1^2 + \frac{1}{2} m_c V_1^2 \quad (24)$$

که در آن  $m_c$  جرم مؤثر هسته در ناحیه پلاستیک می‌باشد. جرم مؤثر در این مرحله برابر جرم استوانه از هسته به شعاع  $r_p$  می‌باشد. از آنجایی که موج پلاستیک مسافت  $C_p t$  را طی می‌کند، جرم مؤثر هسته برابر  $m_c = \pi r_p^2 \rho_c C_p t / (1 - \varepsilon_D)$  می‌باشد.

انرژی پتانسیل سازه در این مرحله انرژی کار پلاستیک هسته است.

$$\Pi = \pi r_p^2 \delta \quad (25)$$

با قرار دادن معادله‌های ۲۴ و ۲۶ در معادله لاغرانژ خواهیم داشت:

$$\left( M_0 + \frac{\pi r_p^2 \rho_c C_p t}{(1 - \varepsilon_D)} \right) \frac{d^2 \delta}{dt^2} + \frac{\pi r_p^2 \rho_c C_p}{(1 - \varepsilon_D)} \frac{d\delta}{dt} + \pi r_p^2 q = 0 \quad (26)$$

با جایگزینی  $C_p$  از معادله ب-۱ داریم:

$$\left( M_0 + \frac{\pi r_p^2 \rho_c \delta}{(1 - \varepsilon_D)} \right) \frac{d^2 \delta}{dt^2} + \frac{\pi r_p^2 \rho_c}{(1 - \varepsilon_D)} \frac{d\delta}{dt} + \pi r_p^2 q = 0 \quad (27)$$

معادله ۲۷ یک معادله غیرخطی مرتبه ۲ بحسب  $\delta$  می‌باشد. سرعت و جابه‌جایی اولیه برای حل معادله از وضعیت نهایی مرحله اول نفوذ به دست می‌آید. در این مرحله، از مکانیزم برش لانه‌زنیوری برای حل این معادله استفاده می‌شود.

#### ۳-۱-۳- مرحله سوم نفوذ

در این مرحله لانه‌زنیوری به صورت موضعی فشرده شده و رویه پشتی دچار تغییر شکل می‌شود و جایش بین هسته و لانه‌زنیوری اتفاق می‌افتد. در این مرحله دو درجه آزادی برای توصیف مکانیزم نفوذ وجود دارد.  $X_1$  حرکت پرتا به و هسته را مشخص می‌کند و  $X_2$  حرکت رویه پشتی را نشان می‌دهد. انرژی جنبشی هسته و انرژی جنبشی کامپوزیت پشتی می‌باشد.

$$T = \frac{1}{2} M_0 V_1^2 + \frac{1}{2} m_c V_1^2 + \frac{1}{2} m_f V_2^2 \quad (28)$$

که در آن  $V_1 = dX_1/dt$  و  $V_2 = dX_2/dt$  می‌باشد. در این مرحله  $\xi$  میزان تغییر شکل جانبی در رویه  $m_f = \pi \rho_f h \xi / 6$  پشتی است.

انرژی پتانسیل سازه در این مرحله شامل انرژی لهشگی لانه‌زنیوری، انرژی خمشی و غشایی رویه کامپوزیتی پشتی می‌باشد.

$$\Pi = \pi r_p^2 q (X_1 - X_2) + \bar{D} \frac{(\xi - 2r_p)^2}{\xi^4} X_2^2 + \bar{A} \frac{(\xi - 2r_p)^6}{\xi^8} X_2^4 \quad (29)$$

با اعمال معادله لاغرانژ دو معادله به صورت زیر به دست می‌آید.

$$\left( M_0 + \frac{\pi r_p^2 \rho_c C_p t}{(1 - \varepsilon_D)} \right) \frac{d^2 X_1}{dt^2} + \frac{\pi r_p^2 \rho_c C_p}{(1 - \varepsilon_D)} \frac{dX_1}{dt} + \pi r_p^2 q = 0 \quad (30)$$

$$\frac{\pi \rho_f h \xi^2}{6} \frac{d^2 X_2}{dt^2} + \frac{\pi \rho_f h}{6} \frac{dX_1}{dt} \left( 2\xi \frac{d\xi}{dt} \right) + 2\bar{D} \frac{(\xi - 2r_p)^2}{\xi^4} X_2 + 4\bar{A} \frac{(\xi - 2r_p)^6}{\xi^8} X_2^3 - \pi r_p^2 q = 0 \quad (31)$$

همچنین از قانون بقای اندازه حرکت خطی داریم:

$$\left( M_0 + \frac{\pi r_p^2 \rho_c \delta_{II}}{(1 - \varepsilon_D) \varepsilon_D} \right) V_{II} = \left( M_0 + \frac{\pi r_p^2 \rho_c (X_1 - X_2)}{(1 - \varepsilon_D) \varepsilon_D} \right) V_1 + \frac{\pi \rho_f h}{3} \xi^2 V_2 \quad (32)$$

که در آن  $V_{II}$  و سرعت پرتا به در انتهای مرحله دوم می‌باشد.  $\xi$  با استفاده از معادله ۳۲ به صورت زیر محاسبه می‌شود.

$$\xi^2 = \frac{3}{\pi \rho_f h V_2} \left[ \left( M_0 + \frac{\pi r_p^2 \rho_c \delta_{II}}{(1 - \varepsilon_D) \varepsilon_D} \right) V_{II} - \left( M_0 + \frac{\pi r_p^2 \rho_c (X_1 - X_2)}{(1 - \varepsilon_D) \varepsilon_D} \right) V_1 \right] \quad (33)$$

برای حذف  $\xi$  از معادله ۳۱، معادله ۳۳ در آن قرارداده می‌شود. همچنین با جایگزینی  $C_p$  از معادله ب-۱، معادله‌های ۳۰ و ۳۱ به صورت زیر نوشته می‌شوند:

$$R_{\text{del}}^{\text{top}} = \frac{P_d}{2\pi h(ILSS)_c} \quad (51)$$

که در آن  $ILSS$  استحکام برشی بین لایه‌ای می‌باشد. به همین ترتیب، شعاع ناحیه جدایش بین رویه و هسته، بر حسب استحکام برشی بین لایه‌ای فصل منترک کامپوزیت و لانه‌زنیوری بیان می‌گردد:

$$R_{\text{deb}}^{\text{top}} = \frac{P_d}{2\pi h(ILSS)_{c/H}} \quad (52)$$

انرژی و مساحت مربوط به لایه‌شدنگی هر لایه برابر است با [۱۹]:

$$E_{\text{del}}^{\text{top}} = A_{\text{del}}^{\text{top}} G_{\text{IIC}}^c \quad (53)$$

$$A_{\text{del}}^{\text{top}} = \pi (R_{\text{del}}^{\text{top}})^2 \quad (54)$$

و به همین ترتیب، انرژی و مساحت ناحیه جدایش:

$$E_{\text{deb}}^{\text{top}} = A_{\text{deb}}^{\text{top}} G_{\text{IIC}}^{\text{C/H}} \quad (55)$$

$$A_{\text{deb}}^{\text{top}} = \pi (R_{\text{deb}}^{\text{top}})^2 \quad (56)$$

**۳-۸-۱-۲- لایه‌شدنگی و جدایش بین لایه‌ای در رویه پشتی**  
لایه‌شدنگی در رویه پشتی مشابه رویه جلویی اتفاق می‌افتد. به طوری که رابطه ۵۰ برای نیروی مورد نیاز جهت لایه‌شدنگی رویه پشتی صدق می‌کند. اما در جدایش هسته و رویه پشتی چقمرمگی شکست بین لایه‌ای مود یک می‌باشد و مساحت ناحیه‌ای که جدایش اتفاق می‌افتد متفاوت است. (در آزمایش‌های بالستیک رویه پشتی کاملاً از لانه‌زنیوری جدا می‌شود)  
بنابراین شعاع لایه‌شدنگی کامپوزیت پشتی برابر است با:

$$R_{\text{del}}^{\text{bot}} = \frac{P_d}{2\pi h(ILSS)_c} \quad (57)$$

شعاع ناحیه جدایش بین رویه پشتی و لانه‌زنیوری، برابر است با:

$$R_{\text{deb}}^{\text{bot}} = \frac{a}{2} \quad (58)$$

انرژی و مساحت مربوط به لایه‌شدنگی هر لایه برابر است با [۱۹]:

$$E_{\text{del}}^{\text{bot}} = A_{\text{del}}^{\text{bot}} G_{\text{IIC}}^c \quad (59)$$

$$A_{\text{del}}^{\text{bot}} = \pi (R_{\text{del}}^{\text{bot}})^2 \quad (60)$$

و به همین ترتیب، انرژی و مساحت ناحیه جدایش:

$$E_{\text{deb}}^{\text{bot}} = A_{\text{deb}}^{\text{bot}} G_{\text{IIC}}^{\text{C/H}} \quad (61)$$

$$A_{\text{deb}}^{\text{bot}} = \pi \frac{a^2}{4} \quad (62)$$

**۳-۹-۱- انرژی شکست رویه پشتی**  
در آزمایش‌های بالستیک هنگام عبور گولوله از کامپوزیت پشتی شکافی به وجود می‌آید (شکل ۴). حداقل شکاف مورد نیاز برای نفوذ گولوله، طولی برابر  $r_p = \sqrt{2}$  دارد. در شکل ۹ طول ترک برای نفوذ در رویه پشتی مشخص است.  
با توجه به شکل ۹ چهار ترک به طول  $L$  وجود دارد. این ترکها در مود سه ایجاد می‌شوند و انرژی مورد نیاز برای ایجاد ترکها برابر است با [۱۸]:  
 $E_{\text{cr}} = 4hG_{\text{IIC}}^c$

**۳-۲- مقادیر چقمرمگی شکست**  
مقادیر چقمرمگی شکست رویه‌های کامپوزیتی بستگی به جنس الیاف، نوع اپوکسی و مقاومت برشی بین لایه‌های کامپوزیت دارد. به علت عدم توانایی محاسبه و یا اندازه‌گیری چقمرمگی شکست، به صورت تقریبی این مقادیر از مرجع [۲۰، ۲۱] تقریب زده شده است. مقادیر چقمرمگی شکست مود یک، دو و سه برای کامپوزیت شیشه‌اپوکسی به ترتیب برابر  $2870 \text{ J/m}^2$ ،  $850 \text{ J/m}^2$  و  $1480 \text{ J/m}^2$  است.

به علت نزدیک بودن مقدار مقاومت برشی در رویه‌های کامپوزیتی و مقاومت برشی بین رویه‌ها و هسته ( $ILSS$ ) می‌توان به صورت تقریبی  $20 - 10$  درصد مقادیر چقمرمگی شکست کامپوزیت شیشه‌اپوکسی را برای چقمرمگی

$$\left( \frac{\sigma_{11}}{X_T} \right)^2 + \left( \frac{\sigma_{12}}{S_{12}} \right)^2 = 1 \quad (43)$$

که در آن  $X_T$  و  $S_{12}$  به ترتیب مقاومت کششی طولی و مقاومت برشی کامپوزیت می‌باشد. نحوه محاسبه تنش‌ها و کرنش‌ها برای رویه کامپوزیتی در پیوست ۸ پ آورده شده است.

با قرار دادن روابط پ-۶ و پ-۷ در معادله ۴۳ داریم:

$$\frac{4h^2\delta^2}{\xi^4} \left\{ \frac{1}{X_T^2} \left[ \frac{1}{\left( 1 - \frac{2r_p}{\xi} \right)^2} Q_{11} + Q_{12} \right]^2 + \frac{1}{S_{12}^2} \left[ \frac{2}{\left( 1 - \frac{2r_p}{\xi} \right)} Q_{66} \right]^2 \right\} = 1 \quad (44)$$

هنگامی که معادله ۴۴ برقرار باشد کامپوزیت دچار تخریب شده است و با پیستی انرژی مورد نیاز تخریب کامپوزیت محاسبه شود. در این حالت، قسمت کامپوزیتی به وسیله گولوله لبه گولوله بریده شده و پیشانی گولوله، قسمت بریده شده را خرد خواهد نمود. انرژی مورد نیاز چنین تخریبی می‌تواند با استفاده از حاصل ضرب انرژی مربوط به شکست در واحد حجم ماده کامپوزیتی در حجم حفره ایجاد شده، هنگام عبور گولوله، بیان گردد [۱۷]:

$$E_t = n_t e_t \pi r_p^2 h \quad (45)$$

که  $n_t$  تعداد لایه‌های کامپوزیت و  $e_t$  انرژی لازم برای شکست کامپوزیت می‌باشد و برابر مساحت زیر نمودار تنش کرنش در آزمایش کشش است.

### ۳-۶-۱- برش قسمت لانه‌زنیوری

با افزایش نیروی تماس، قسمت لانه‌زنیوری دچار برش می‌گردد. نیروی بحرانی برای برش لانه‌زنیوری برابر است با [۱۸]:

$$P_{\text{cr}} = 2\pi r_p (C_e t - \delta) \tau_{\text{cr}} \quad (46)$$

که  $\tau_{\text{cr}}$  استحکام برشی نهایی لانه‌زنیوری است. پس از تخریب رویه کامپوزیتی نیروی منتقل شده از طریق هسته لانه‌زنیوری برابر است با:

$$P_c = \pi r_p^2 (q + \frac{\rho_c V_1^2}{\varepsilon_D}) \quad (47)$$

بنابراین معیار برش لانه‌زنیوری با استفاده از معادله ۴۶ و ۴۷ برابر است با:

$$V_1 = \sqrt{\frac{\varepsilon_D (2(C_e t - \delta) \tau_{\text{cr}} - q r_p)}{\varepsilon_D r_p}} \quad (48)$$

انرژی جذب شده در برش لانه‌زنیوری با معادله ۴۹ محاسبه می‌گردد [۱۸].

$$E_{\text{sh}} = P_{\text{cr}} \bar{H} = 2\pi r_p (C_e t - \delta)^2 \tau_{\text{cr}} \quad (49)$$

### ۳-۷-۱- لایه‌شدنگی و جدایش بین لایه‌ای در رویه جلویی

پیش روی گولوله سبب خمی هدف و تمایل لایه‌ها به لغزش روی یکدیگر می‌شود. با افزایش تدریجی نیروی تماسی میان گولوله و هدف، لایه‌شدنگی اتفاق می‌افتد. این نوع از لایه‌شدنگی، ماهیت لغزشی داشته و ناشی از تنش‌های برشی می‌باشد. نیروی مورد نیاز برای ایجاد لایه‌شدنگی از رابطه تقریبی دیویس به دست می‌آید [۱۹].

$$P_d = \frac{8\pi^2 E_{\text{av}} h^3}{9(1-v^2) G_{\text{IIC}}} \quad (50)$$

که در آن  $P_d$  نیروی مورد نیاز برای لایه‌شدنگی،  $G_{\text{IIC}}$  چقمرمگی شکست مود دو و  $E_{\text{av}}$  مدول الاستیسیته متوسط می‌باشد. برحسب اینکه لایه‌شدنگی بین لایه‌های کامپوزیتی، یا جدایش میان لانه‌زنیوری و کامپوزیت مورد نظر باشد، چقمرمگی شکست بین لایه‌ای مود دو (برشی)<sup>۱</sup> مربوط به هر قسمت در رابطه بالا قرار می‌گیرد. شعاع لایه‌شدنگی برحسب نیروی لازم برای این پدیده و استحکام برشی بین لایه‌ای قسمت کامپوزیتی بیان می‌گردد [۱۹]:

۱- Mode II interlaminar (shear) fracture toughness

لایه‌شدگی و یا جدایش بین هسته و کامپوزیت جلویی برسد، مقدار انرژی لایه‌شدگی و جدایش هسته و رویه باقیستی از انرژی جنبشی پرتابه کم شود.

$$\frac{1}{2}M_0V_I^2 - E_t - E_{\text{del}}^{\text{top}} - E_{\text{dob}}^{\text{top}} = \frac{1}{2}M_0V_{I_r}^2 \quad (64)$$

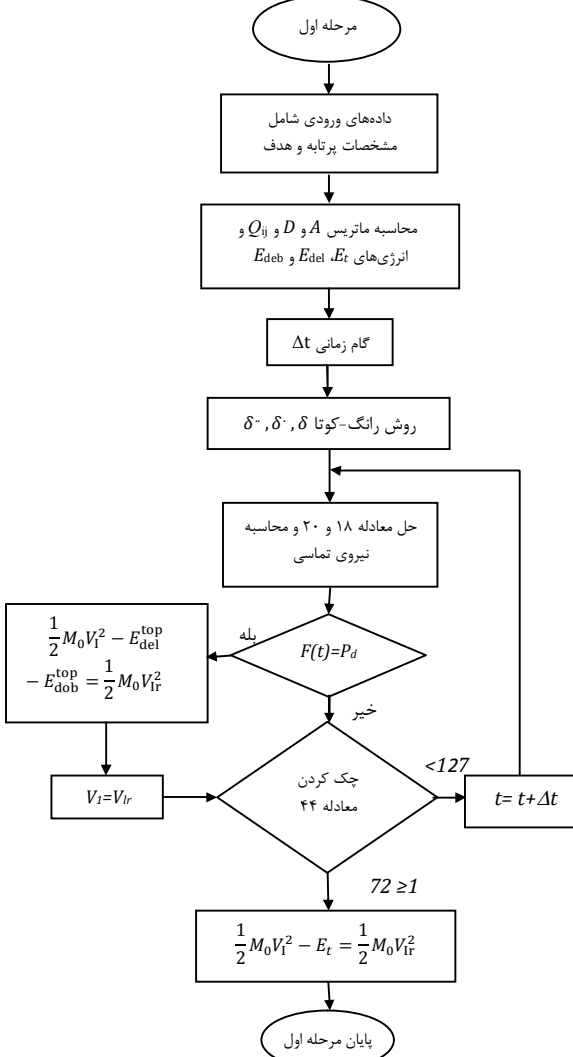
سرعت و جاهه‌جایی پرتابه در انتهای این مرحله به عنوان شرایط اولیه مرحله دوم مورد استفاده قرار می‌گیرد. شکل ۱۰ روند محاسباتی مرحله اول را نشان می‌دهد. سایر مرحله‌نیز مشابه مرحله اول می‌باشد و باید معادلات مربوط به هر مرحله جایگزین شود.

به کمک نتایج بدست آمده از مرحله اول که به عنوان شرایط اولیه مرحله دوم استفاده می‌شود، حل عددی معادله دیفرانسیل مرحله دوم، آغاز می‌گردد. در این مرحله به منظور تعیین لحظه برخانه زنیوری، شرط برش در معادله ۴۸ در هر گام بررسی می‌شود و به محض ارضای شرط برش لانه‌زنیوری، این مرحله از حل نیز پایان می‌پذیرد و باقیستی انرژی برخ

$$\frac{1}{2}M_0V_{II}^2 - E_{\text{sh}} = \frac{1}{2}M_0V_{III}^2 \quad (65)$$

مرحله سوم دارای دو معادله دیفرانسیل است. شرط خاتمه این مرحله معادله ۳۶ است. اگر نیروی تماسی به نیروی مورد نیاز برای جدایش هسته و رویه پشتی برسد، باقیستی انرژی جدایش بین هسته و رویه پشتی از انرژی جنبشی پرتابه کم شود.

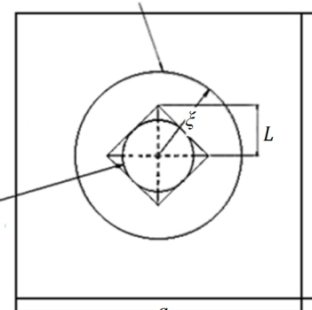
$$\frac{1}{2}M_0V_{2\text{III}}^2 - E_{\text{dob}}^{\text{bot}} = \frac{1}{2}M_0V_{2\text{III}r}^2 \quad (66)$$



شکل ۱۰ فلورچارت مرحله اول حل

شکست بین هسته و رویه‌ها در نظر گرفت (سطح تماس بین هسته و رویه‌ها ۱۰۰ درصد نمی‌باشد و در حدود ۲۰-۱۰ درصد با هم در تماس می‌باشند) [۱۸,۲۲].

اندازه فروزنگی موضعی



شکل ۹ کوچکترین طول ترک برای نفوذ پرتابه در رویه پشتی [۱۸]

### ۳-۳- تأثیرات نرخ کرنش در خواص مکانیکی مواد

به علت اینکه آزمایش نفوذ در سرعت بالا انجام شده است، تأثیر نرخ کرنش باید لحاظ شود. نرخ کرنش در حوزه بالستیک این تحقیق، حدود  $1000\text{s}^{-1}$  می‌باشد. پژوهش‌های گسترده‌ای در زمینه وابستگی خواص مکانیکی کامپوزیت به نرخ کرنش انجام گردیده است. تحقیقات آرمناکاس و سیامارلا، بین‌گر افزایشی در حدود ۵۰٪ در استحکام کامپوزیت شیشه‌اپوکسی در نرخ کرنش  $1000\text{s}^{-1}$  نسبت به مقادیر متضاد استاتیکی می‌باشد [۲۲]. بدین ترتیب به منظور اعمال اثر نرخ کرنش، مقادیر استحکام به دست آمده از آزمون‌های خواص مکانیکی استاتیکی، به میزان ۵۰٪ افزایش خواهد یافت. همچنین حساسیت تنش مچاله‌شوندگی لانه‌زنیوری در محدوده نرخ کرنش مورد نظر نیز باید در نظر گرفته شود. در مرجع [۲۴] با انجام آزمایش‌های دینامیکی نشان داده شده است که تنش مچاله‌شوندگی لانه‌زنیوری حدود ۲۵-۳۰ درصد بیشتر از حالت استاتیکی است.

### ۴-۳- روش حل

به علت پیچیدگی معادله‌ها در هر مرحله می‌باشد از روش عددی برای حل استفاده نمود. روش رانگ-کوتا حل این معادله‌ها مناسب به نظر رسیده و از آن استفاده می‌گردد. در این روش، زمان حل به تعدادی گام زمانی تقسیم می‌گردد. با توجه به شرایط اولیه (جهه‌جایی و سرعت)، شتاب در انتهاه گام زمانی اول محاسبه شده و از روی آن، سرعت و جاهه‌جایی در انتهاه گام زمانی دوم تعیین می‌گردد. این روند تا انتهای حل معادله دیفرانسیل مورد نظر، ادامه دارد. فرآیند حل تحلیلی در چهار مرحله اجرا خواهد شد:

مرحله اول: از آغاز تماس گلوله و هدف تا پارگی قسمت کامپوزیتی

مرحله دوم: از برخ لانه‌زنیوری تا جدایش رویه پشتی

مرحله سوم: از برخ لانه‌زنیوری تا جدایش رویه پشتی

مرحله چهارم: پارگی کامپوزیت پشتی و خروج پرتابه

به کمک شرایط اولیه، حل عددی معادله دیفرانسیل حاکم بر مرحله اول، آغاز می‌گردد. مجھول اصلی، تغییر فرم مرکز سازه، یا میزان حرکت گلوله در هدف می‌باشد. از آنجا که در طی فرآیند نفوذ، نیروی تماسی نیز در هر گام محاسبه می‌گردد. هنگامی که شرط تخریب کامپوزیت در معادله ۴۴ برقرار شود، این مرحله از حل خاتمه می‌یابد و باید انرژی تخریب کامپوزیت از انرژی جنبشی پرتابه کم شود. همچنین اگر نیروی تماسی به نیروی مورد نیاز برای

#### ۴- مدل عددی

مدل‌سازی هندسی شامل سه قسمت پرتابه، لایه‌های کامپوزیتی و هسته لانه‌زنیوری می‌باشد. در سازه ساندویچی هسته لانه‌زنیوری به صورت سطح و رویه‌های کامپوزیتی و پرتابه به صورت حجم مدل شده است. المان 163 shell و 164 solid برای مشبندی رویه‌های کامپوزیتی و پرتابه استفاده شده است. این المان به صورت هشت گرهی و شکل هندسی آن به فرم شش وجهی می‌باشد. استفاده از المان حجمی، این امکان را ایجاد می‌کند که لایه‌ها و اجزاء به دقت روی یکدیگر بنا شوند و پذیده‌هایی مانند لایه‌شدنگی و پیامدهای ناشی از آن نیز به خوبی قابل مدل‌سازی می‌باشند با فرض صلب بودن گولوه مدل ماده از MAT\_RIGID برای آن انتخاب شده است. برای آلومینیم از مدل ماده \*MAT\_PLASTIC\_KINEMATIC که بر پایه الگوی رفتار مکانیکی کوپر-سیموندز می‌باشد، استفاده شده است. ضرایب مربوط به معادله کوپر-سیموندز برای آلومینیوم در مرجع [۲۵] وجود دارد. برای کامپوزیت از مدل مکانیکی \*MAT\_COMPOSITE\_DAMAGE استفاده شده است. معیار کرش نهایی به عنوان شرط تخریب در این قسمت انتخاب شده است. با توجه به اینکه مدل ماده استفاده شده برای قسمت کامپوزیتی فاقد معیار تخریب می‌باشد، مدل ماده \*MAT\_ADD\_EROSION به مدل ماده فوق ضمیمه شده است.

برای بیان مفهوم تماس بین قسمت‌های مختلف اجزء تشکیل‌دهنده سازه ساندویچی، از الگوریتم تماس استفاده شده است. الگوریتم تماس \*CONTACT\_ERODING\_SURFACE\_TO\_SURFACE برای بیان تماس گولوه و هر یک از لایه‌های هدف، الگوریتم \*CONTACT\_TIEBREAK\_SURFACE\_TO\_SURFACE برای تماس لایه مجاور، الگوریتم \*CONTACT\_NODE\_TO\_SURFACE برای تماس لایه مجاور و الگوریتم AUTOMATIC\_SURFACE\_TO\_SURFACE برای جلوگیری از درهم فرو رفتن لایه‌های غیرمجاور و الگوریتم \*CONTACT\_TIEBREAK\_NODE\_TO\_SURFACE برای بیان مفهوم تماس بین رویه‌های کامپوزیتی و هسته لانه‌زنیوری استفاده شد. شرایط مرزی با توجه به وضعیت تکیه‌گاه‌ها در آزمایش‌های تجربی، تکیه‌گاه گیردار است.

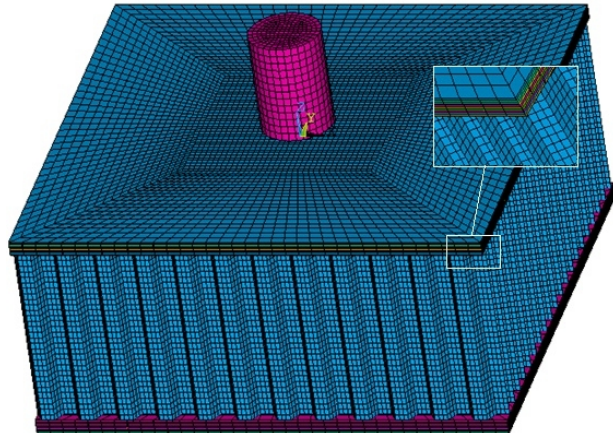
با افزایش تدریجی تعداد المان‌ها و ریزتر شدن آن‌ها، پاسخ‌های عددی دقیق‌تری به دست آمده و در نتایج به دست آمده، همگرایی دیده می‌شود. تعداد پنج فرم مشبندی با الگوی یکسان و تراکم المان‌های مختلف بررسی شد و پس از بررسی نتایج به دست آمده و همگرایی پاسخ‌ها، فرم نهایی مشبندی مطابق شکل ۱۱ انتخاب شده است.

#### ۵- نتایج و بحث

##### ۵-۱- نتایج به دست آمده از مدل تحلیلی

جدول ۵ مقادیر سرعت خروجی پرتابه برای سازه ساندویچی را توسط حل تحلیلی نشان می‌دهد.

سرعت حد بالستیک سازه ساندویچی در حل تحلیلی برابر  $155/94 \text{ m/s}$  می‌باشد و مدت زمان نفوذ گولوه به سازه ساندویچی در حل تحلیلی برای سرعت ورودی  $160 \text{ m/s}$  در حدود  $400$  میکروثانیه است. مشارکت مکانیزم‌های جذب انرژی جذب از رویه‌های لانه‌زنیوری است. همچنین  $E_{\text{tot}}$  مجموع انرژی‌های تغییر شکل سراسری و محلی سازه ساندویچی و لشدنگی لانه‌زنیوری است. همچنین  $E_{\text{tot}}$  مجموع تمام انرژی‌هایی است که گولوه هنگام نفوذ در سازه ساندویچی از دست داده است. کل انرژی جذب شده توسط گولوه در حل تحلیلی  $103/34$  می‌باشد، که بیشترین مقدار



شکل ۱۱ مشبندی نهایی سازه ساندویچی

جدول ۵ سرعت خروجی پرتابه در حل تحلیلی

مقدار ورودی (m/s)	سرعت خروجی (m/s)
۱۰/۹	۱۹۰
۹۰/۴	۱۸۰
۶۹/۶	۱۷۰
۳۵/۸	۱۶۰

جدول ۶ درصد مشارکت مکانیزم‌های جذب انرژی در سرعت  $160 \text{ m/s}$

مکانیزم جذب انرژی	مقدار انرژی جذب شده (%)
لایه لایه شدن رویه‌ها (E <sub>del</sub> )	۰/۷۳
جدایش بین رویه‌ها و هسته (E <sub>del</sub> )	۸/۵۲
انرژی تخریب کامپوزیت (E <sub>t</sub> )	۱/۱۴
انرژی شکست کامپوزیت (E <sub>cr</sub> )	۱/۱۸
انرژی برش لانه زنیوری (E <sub>sh</sub> )	۱۷/۹۵
انرژی تغییر شکل سراسری و محلی (E <sub>c/def</sub> )	۷۳/۵۵
انرژی کل (E <sub>tot</sub> )	۱۰۳/۳۴

در مرحله چهارم نفوذ، با ادامه حرکت گولوه، خیز سازه افزایش یافته و انرژی جنبشی گولوه به تدریج کاهش می‌یابد. هنگامی که شرط تخریب کامپوزیت در معادله ۴۴ برقرار شود این مرحله از حل خاتمه می‌یابد و باید انرژی تخریب و شکست کامپوزیت از انرژی جنبشی پرتابه کم شود. همچنین اگر نیروی تماسی به نیروی مورد نیاز برای لایه‌شدنگی کامپوزیت پشتی برسد، مقدار انرژی لایه‌شدنگی بایستی از انرژی جنبشی پرتابه کم شود.

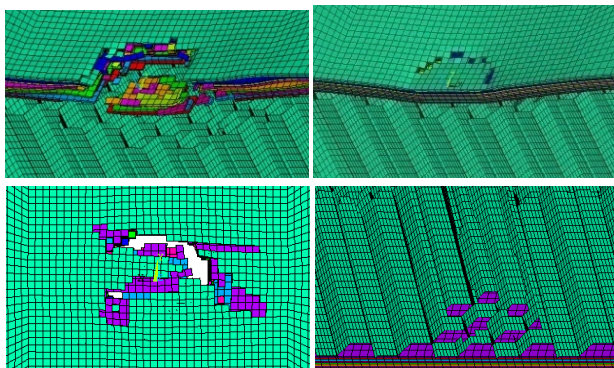
$$\frac{1}{2} M_0 V_{2IV}^2 - E_t - E_{\text{del}}^{\text{bot}} - E_{\text{cr}} = \frac{1}{2} M_0 V_{2IVr}^2 \quad (67)$$

که در آن  $V_{2IVr}$  سرعت خروجی پرتابه است و سرعت بالستیک هدف برابر است با [۱۲]:

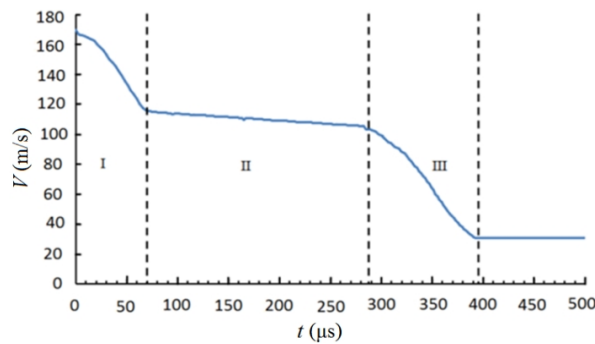
$$V_b = \frac{M_0}{M_0 + M_{\text{plug}}} \sqrt{V_0^2 - V_{\text{rIV}}^2} \quad (68)$$

##### ۵-۲- بررسی وابستگی روش حل به گام‌های زمانی و مکانی

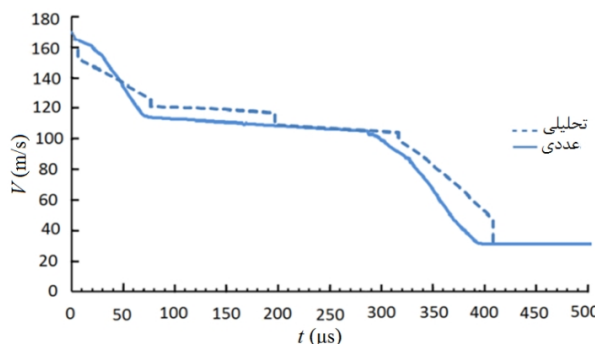
برای بررسی میزان وابستگی پاسخ به دست آمده به تعداد گام زمانی، نتایج خیز سازه در محل تماس با گولوه در سه حالت مورد توجه قرار گرفت و همگرایی پاسخ‌های به دست آمده، بررسی گردید. گام‌های زمانی به اندازه یک پنجم، یک دهم و یک بیستم زمان عبور موج عرضی از ضخامت سازه ساندویچی (معادله ۲) در نظر گرفته شد. با بررسی منحنی به دست آمده، گام زمانی برابر با یک بیستم زمان عبور موج عرضی از ضخامت سازه ساندویچی، پاسخ همگرایی ایجاد نموده و بدین ترتیب، مناسب به نظر می‌رسد.



شکل ۱۳ تغییر فرم مقطع سازه ساندویچی



شکل ۱۴ نمودار تغییرات سرعت گلوله نفوذ‌کننده در حل عددی



شکل ۱۵ مقایسه تغییرات سرعت گلوله در حل تحلیلی و حل عددی

شکل ۱۴ نمودار تغییرات سرعت گلوله شلیک شده به سازه ساندویچی را نشان می‌دهد. نمودار تغییرات سرعت گلوله به سه قسمت تقسیم می‌شود. قسمت اول نفوذ در رویه جلویی است، قسمت دوم مربوط به هسته لانه‌نبوی است و قسمت سوم نفوذ در رویه پشتی است.

### ۳-۵ مقایسه نتایج تجربی با مدل‌های تحلیلی و عددی

جدول ۸ مقایسه‌ای بین سرعت‌های حد بالستیک به دست آمده از سه روش تجربی، تحلیلی و عددی را نشان می‌دهد. روش تجربی، به عنوان مبنای مقایسه انتخاب شده است.

شکل ۱۵ تغییرات سرعت گلوله را بر حسب زمان نفوذ در حل تحلیلی و حل عددی با هم نشان می‌دهد. همان‌طور که نمودار نشان می‌دهد، نتایج فاصله قابل قبولی از یکدیگر دارند.

### ۶- نتیجه‌گیری

در این مقاله مدل تحلیلی براساس مدل انشار موج و محاسبه انرژی جذب شده توسط مکانیزم‌های مختلف جذب انرژی برای نفوذ پرتا به‌های سرتخت در سازه ساندویچی با رویه‌های کامپوزیتی و هسته لانه‌نبوی ارائه گردید. منابع

جذب انرژی به لشدگی لانه‌نبوی و تغییر شکل سراسری و محلی سازه مربوط است و حدود ۷۱/۲٪ کل انرژی جذب شده توسط گلوله می‌باشد. همچنین ۱۷/۴٪ از کل انرژی صرف بر ش لانه‌نبوی، ۸/۳٪ صرف جدایش بین رویه‌ها و هسته، ۱/۲٪ صرف شکست رویه پشتی، ۱/۱٪ صرف تخریب کامپوزیت و حدود ۰/۸٪ صرف لایه‌لایه شدگی رویه‌های کامپوزیتی شده است.

شکل ۱۲ تغییرات سرعت گلوله نفوذ‌کننده به سازه ساندویچی را نشان می‌دهد. نمودار تغییرات سرعت گلوله به چهار مرحله تقسیم می‌شود. هنگام اتمام هر مرحله و قبل از ورود به مرحله بعد یک افت ناگهانی سرعت در منحنی دیده می‌شود. این افتخاهای ناگهانی نشان‌دهنده مکانیزم‌های تخریبی است که در بخش ۳ بررسی شد. قسمت اول منحنی نشان‌دهنده نفوذ گلوله در رویه کامپوزیتی جلویی است، قسمت دوم مربوط به نفوذ در هسته لانه‌نبوی است، قسمت سوم خم شونده کامپوزیتی پشتی و لشدگی هسته را نشان می‌دهد و قسمت چهارم نفوذ در رویه پشتی کامپوزیتی را نشان می‌دهد.

### ۲-۵ نتایج به دست آمده از تحلیل عددی

سرعت خروجی به دست آمده برای سازه ساندویچی توسط مدل عددی در جدول ۷ فهرست گردیده است.

سرعت حد بالستیک سازه ساندویچی در حل عددی برابر ۱۶۷/۶۲ m/s می‌باشد. مدت زمان نفوذ گلوله به سازه ساندویچی در حل عددی برای سرعت ورودی ۱۷۰ m/s در حدود ۳۸۵ میکروثانیه است. در مدل عددی، امکان بررسی لحظه به لحظه پیش روی گلوله در هدف و تعقیب مقدار تخریب لحظه‌ای هدف وجود دارد.

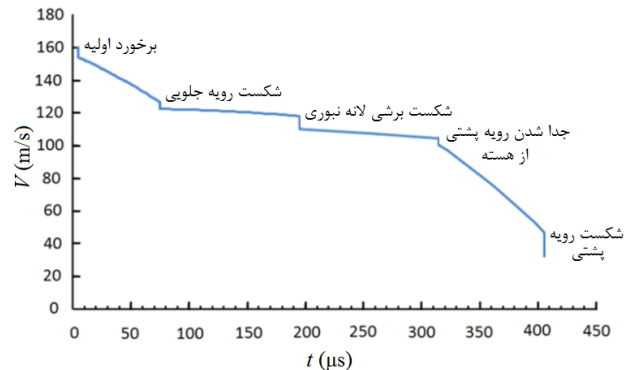
شکل ۱۳ میزان تخریب و تغییر فرم مقطع میانی هدف، نزدیک به سرعت حد بالستیک نشان می‌دهد. مدل اجزاء محدود تهیه شده، توانایی شبیه‌سازی پدیده جدایش بین لایه‌ای و لایه‌لایه شدگی را دارا می‌باشد. در مدل عددی، رویه کامپوزیتی جلوی هدف، به شکل پلاگ و رویه پشتی به شکل پتال بریده شده است.

جدول ۷ سرعت خروجی پرتا به هنگام نفوذ در حل عددی

سرعت ورودی (m/s)	سرعت خروجی (m/s)
۹۰/۳	۱۹۰
۶۱/۷	۱۸۰
۲۸/۳	۱۷۰

جدول ۸ مقایسه سرعت حد بالستیک برای روش‌های مختلف

حد بالستیک (m/s)	درصد اختلاف	تجربی تحلیلی عددی تجربی و تحلیلی تجربی و عددی
۶/۹۸	۲/۱۵	۴/۹۱ ۱۶۷/۶۲ ۱۵۵/۹۴ ۱۶۴/۱



شکل ۱۲ تغییرات سرعت گلوله نفوذ‌کننده بر حسب زمان نفوذ در حل تحلیلی

علایم یونانی	
فرورفتگی (خیز) (m)	$\delta$
فرورفتگی سراسری (m)	$\Delta$
کرنش مچاله شوندگی ( $\text{kgm}^{-3}$ )	$\epsilon_D$
چگالی لانه‌زنپوری ( $\text{kgm}^{-3}$ )	$\rho_c$
چگالی رویه‌های کامپوزیتی ( $\text{kgm}^{-3}$ )	$\rho_f$
مقاومت فشاری لانه‌زنپوری ( $\text{kgm}^{-1}\text{s}^2$ )	$\sigma_D$
مقاومت برشی هسته لانه‌زنپوری ( $\text{kgm}^{-1}\text{s}^2$ )	$\tau_{cr}$
میزان تغییر شکل جانبی محلی (m)	$\xi$
میزان تغییر شکل جانبی سراسری (m)	$\Xi$

## ۸- پوست

### ۸-الف- محاسبه جرم مؤثر رویه‌های کامپوزیتی

با فرض يك ميدان سرعت خطی جرم مؤثر کامپوزیت را می‌توان تخریب زد. پروفیل سرعت خطی با توجه به شرایط حاکم بر مسئله با استفاده از معادله ۱- تعریف می‌شود [۶].

$$(الف-1) \quad \dot{w} = V_1 [1 - \frac{r}{\xi}]$$

که در آن  $\xi$  تغییر شکل جانبی است و با گذشت زمان افزایش می‌یابد و تغییرات فرورفتگی در جهت حرکت پرتا به می‌باشد. با محاسبه انرژی جنبشی می‌توان جرم مؤثر کامپوزیت را محاسبه کرد.

$$(الف-2) \quad L_f = 2\pi \int_0^\xi \rho_f h V_1 \left(1 - \frac{r}{\xi}\right) r dr = \frac{\pi \rho_f h}{3} \xi^2 V_1$$

$$(الف-3) \quad T_f = \frac{1}{2} (2\pi) \int_0^\xi \rho_f h V_1 \left(1 - \frac{r}{\xi}\right)^2 r dr = \frac{\pi \rho_f h}{12} \xi^2 V_1^2$$

در معادله ۱۰،  $L_f$  مومنتوم خطی کامپوزیت می‌باشد. بنابراین جرم مؤثر کامپوزیت جلویی برابر است با:

$$(الف-4) \quad m_f = \frac{\pi \rho_f h}{6} \xi^2$$

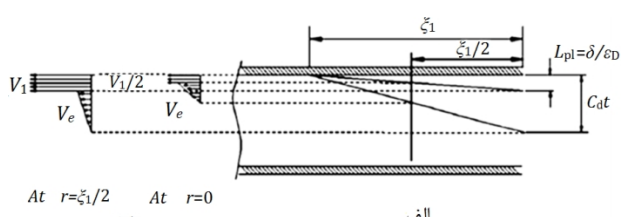
### ۸-ب- محاسبه جرم مؤثر هسته

محاسبه جرم مؤثر هسته دشوارتر از محاسبه جرم مؤثر رویه می‌باشد، زیرا سرعت ذرات هسته تابع رفتار الاستیک و پلاستیک می‌باشد. نواحی الاستیک و پلاستیک هسته در شکل ب-۱ نشان داده شده است. موج الاستیک مسافت  $C_{st}$  را می‌پیماید در حالی که موج پلاستیک مسافت  $C_{pl}$  را می‌پیماید. همچنین از شکل ب-۱ خواهیم داشت:

$$(ب-1) \quad C_p = \frac{V_1}{\epsilon_D} \quad \text{و} \quad \delta \approx V_1 t$$

سرعت ذره در ناحیه الاستیک مانند سرعت ذره در رویه جلویی بررسی می‌شود. میدان سرعت در رویه جلویی توسط معادله الف-۱ بیان شده است. سرعت ناحیه الاستیک به مقدار تنفس الاستیک بستگی دارد، که به صورت زیر محاسبه می‌شود [۶].

$$(ب-2) \quad V = \frac{\sigma}{\rho_f C_d}$$



شکل ب-۱ (الف) ناحیه الاستیک و پلاستیک و (ب) سرعت ذرات [۶]

تخریب و جذب انرژی ضربه بالستیک در سازه ساندویچی عبارت است از: تغییر فرم عمومی سازه (شامل حرکت دینامیکی هدف و تغییر فرم‌های خمشی و برشی)، لایه‌شدنگی قسمت کامپوزیتی، جدایش میان قسمت کامپوزیتی و لانه‌زنپوری، شکست برشی هسته، له شدن هسته، کشیدگی الیاف، اصطکاک پرتا به هدف، ایجاد پلاگ در رویه جلویی، شکل گیری پتال در رویه پشتی. این مکانیزم‌ها در بررسی الگوی تخریب نمونه‌های مورد آزمایش و نتایج تحلیل عددی قابل مشاهده است. منابع تغییر فرم و جذب انرژی در حل تحلیلی نیز بر مبنای همین موارد گذاشته شده است.

برش رویه‌های کامپوزیتی جلو و پشت هدف به فرم پلاگ و پتال در مدل عددی به خوبی دیده می‌شود. بعلاوه این مدل، توانایی شبیه‌سازی پدیده جدایش بین لایه‌ای و لایه‌شدنگی را دارا می‌باشد. همچنین با استفاده از روش عددی حاضر، می‌توان تخریب تدریجی قسمت‌های مختلف در اثر نفوذ گلوله را بررسی نمود. نتایج به دست آمده از هر سه روش، انطباق قابل قبولی با یکدیگر دارند.

## ۷- فهرست علامت

مساحت ناحیه جدایش ( $\text{m}^2$ )	$A_{deb}$
مساحت لایه شدنگی ( $\text{m}^2$ )	$A_{del}$
سرعت انتشار موج در هسته لانه‌زنپوری ( $\text{ms}^{-1}$ )	$C_d$
سرعت موج الاستیک در هسته لانه‌زنپوری ( $\text{ms}^{-1}$ )	$C_e$
سرعت موج عرضی در رویه کامپوزیتی ( $\text{ms}^{-1}$ )	$C_f$
سرعت موج پلاستیک در لانه‌زنپوری ( $\text{ms}^{-1}$ )	$C_p$
انرژی شکست در واحد حجم کامپوزیت ( $\text{Jm}^{-3}$ )	$e_t$
مدول الاستیسیته متوسط ( $\text{kgm}^{-1}\text{s}^2$ )	$E_{av}$
مدول الاستیسیته هسته در حالت فشرده ( $\text{kgm}^{-1}\text{s}^2$ )	$E_c$
چقرمگی شکست مودیک، دو و سه ( $\text{Jm}^{-2}$ )	$G_{Ic}, G_{IIc}, G_{IIIc}$
ضخامت رویه کامپوزیتی (m)	$h$
ضخامت ناحیه الاستیک و پلاستیک (m)	$h_e, h_p$
ارتفاع هسته لانه‌زنپوری (m)	$H$
استحکام برشی بین لایه‌ای ( $\text{kgm}^{-1}\text{s}^2$ )	$ILSS$
طول پرتا به (m)	$L_p$
جرم مؤثر هسته لانه‌زنپوری (kg)	$m_c$
جرم مؤثر رویه کامپوزیتی (kg)	$m_f$
تعداد لایه‌های کامپوزیتی	$n_t$
نیروی بحرانی برش لانه‌زنپوری ( $\text{kgms}^{-2}$ )	$P_c$
نیروی مورد نیاز برای ایجاد لایه‌شدنگی ( $\text{kgms}^{-2}$ )	$P_{del}$
تابع مقاومت سراسری سازه ساندویچی ( $\text{kgm}^{-1}\text{s}^2$ )	$P_g$
تابع مقاومت محلی رویه‌ها و هسته ( $\text{kgm}^{-1}\text{s}^2$ )	$P_l$
تنش مچاله‌شدنگی لانه‌زنپوری ( $\text{kgm}^{-1}\text{s}^2$ )	$q$
اعضاء ماتریس سفتی تک لایه	$\bar{Q}_{ij}$
شعاع پرتا به (m)	$r_p$
انرژی جنبشی (J)	$T$
انرژی پتانسیل کرنشی (J)	$U$
فرورفتگی محلی (m)	$w$
فرورفتگی سراسری (m)	$W$
تغییر مکان مطلق رویه‌های کامپوزیتی (m)	$X_1$
تغییر مکان مطلق سازه ساندویچی (m)	$X_2$

## ۹- مراجع

- [1] T. Bitzer, Honeycomb Technology, Materials, Design, Manufacturing, Applications and Testing, London, England, Chapman & Hall, pp. 10-42, 1997.
- [2] N. Naik, A. Doshi, Ballistic impact behavior of thick composites: analytical formulation, AIAA, Vol. 43, No. 7, pp. 1525-1536, 2005.
- [3] H. pol, G. H. Liaghat, Analytical modeling propagation of projectiles into Glass/Epoxy composite, Modares Mechanical Engineering, Vol. 12, No. 2, pp. 11-19, 2013. (In Persian)
- [4] H. W. Wen, , T. Y. Reddy, Indentation, penetration and perforation of composite laminates and sandwich panels under quasi static and projectile loading, Key Eng Mater, Vol. 49, No. 3, pp. 141-143, 1998.
- [5] J. Kepler, E. Bozhevolnaya, Energy partition for ballistic penetration of sandwich panels, International Journal of Impact Engineering, Vol. 28, No. 7, pp. 697-716, 2003.
- [6] M. S. Hoo Fatt, D. Sirivolu, A wave propagation model for the high velocity impact response of a composite sandwich panel, International Journal of Impact Engineering, vol. 37, pp. 117-130, 2010.
- [7] S. Feli, M. H. Namdari Pour, An analytical model for composite sandwich panels with honeycomb core subjected to high-velocity impact, Composites Part B: Engineering, Vol. 43, pp. 2439-2447, 2012.
- [8] B. L. Buitrago, C. Santiuste, E. Barbero, Modeling of composite sandwich structures with honeycomb core subjected to high-velocity impact, Composite Structures, Vol. 92, pp. 2090-2096, 2010.
- [9] N. Pirmohammadi, Analytical and Experimental Investigation on Ballistic Behavior of Sandwich Panels made of Honeycomb Core, MSc Thesis, Department of Mechanical Engineering, Tarbiat Modares University, Tehran, 2013. (In Persian)
- [10] J. Harding, Y. L. Li, Determination of interlaminar shear strength for Glass/Epoxy and Carbon/Epoxy laminates at impact rate of strain, Composite science and technology, Vol. 45, pp. 161-171, 1992.
- [11] M. Talebi, Experimental and theoretical investigation on Static and Ballistic Behavior polyurethane Foam Filled Honeycomb Panels, MSc Thesis, Department of Mechanical Engineering, Tarbiat Modares University, Tehran, 2012. (In Persian)
- [12] G. Ben-Dor, A. Dubinsky, T. Elperin, On the Lambert Jonas approximation for ballistic impact, Mechanics Research Communications, Vol. 29, No. 2-3, pp. 137-139, 2002.
- [13] G. H. Liaghat, A. Alavi Nia, Ballistic limit evaluation for impact of cylindrical projectiles on honeycomb panels, Thin-Walled Structures, Vol. 48, pp. 55-61, 2010.
- [14] R. L. Sierakowski, S. K. Chaturvedi, Dynamic Loading and Characterization of Fiber-Reinforced Composites, John Wiley and Sons, Inc, New York, 1997.
- [15] J. M. Whitney, Structural Analysis of Laminated Anisotropic Plates, Technomic Publishing Company, 1987.
- [16] J. C Brewer, P. A. Lagace, Quadratic stress criterion for initiation of delamination, J Compos Mater., Vol. 22, pp. 1141-55, 1988.
- [17] R. A. W. Mines, A. M. Roach, High velocity perforation behaviour of polymer composite laminates, International Journal of Impact Engineering, 22(6), pp. 561-588, 1999.
- [18] C. Lin, M. S. Hoo Fatt, Perforation of sandwich panels with honeycomb cores by hemispherical nose projectiles, Journal of Sandwich Structures and Materials, Vol. 7, No. 2, pp. 133-172, 2005.
- [19] G. A. O. Davies, D. Hitchings, J. Ankersen, Predicting delamination and debonding in modern aerospace composite structures, Composites Science and Technology, Vol. 66, No. 6, pp. 846-854, 2006.
- [20] A. Nidal, C. A. Lief, B. Louis, The effect of weave pattern and crack propagation direction on mode I delamination resistance of woven glass and carbon composites, Composite part B: Engineering, Vol. 29, No. 5, pp. 603-611, 1998.
- [21] X. Li, L. A. Carlsson, Influence of fiber volume fraction on mode II interlaminar fracture toughness of Glass/Epoxy composites, Composite science and technology, Vol. 64, pp. 1279-1286, 2004.
- [22] L. Smith, Hexcel composites, Personal communications, 2003
- [23] A. Armenakas, C. Sciammarella, Response of glass-fiber-reinforced epoxy specimens to high rates of tensile loading, Experimental Mechanics, Vol. 13, No. 10, pp. 433-440, 1973.
- [24] W. Goldsmith, J. L. Sakman, An experimental study of energy absorption in impact on sandwich plate, Impact Engng, Vol. 12, No. 2, pp. 241-262, 1992.
- [25] N. Jones, Structural Impact, Cambridge:Cambridge University Press, 1997.

که در آن  $C_d$  سرعت موج الاستیک هنگام عبور از هسته می‌باشد. حداقل سرعت در ناحیه الاستیک با توجه به تنش مچاله‌شوندگی لانه‌زنیوری قابل محاسبه است.

$$V_e = \frac{q}{\rho_c C_d} \quad (3)$$

به دلیل این که  $V_e$  در مقایسه با  $V_1$  بسیار کوچک است، انرژی جنبشی در ناحیه الاستیک لانه‌زنیوری را می‌توان نادیده گرفت. انرژی جنبشی هسته در ناحیه پلاستیک با توجه به پروفیل سرعت خطی محاسبه می‌شود. بدین منظور با توجه به شکل ۱ ب ارتفاع ناحیه پلاستیک و الاستیک برابر است با:

$$h_p = \frac{\delta}{\varepsilon_D} (1 - \frac{r}{\xi}) \quad (4)$$

$$h_e = (C_d t - \frac{\delta}{\varepsilon_D}) (1 - \frac{r}{\xi}) \quad (5)$$

از طرفی هنگامی که لانه‌زنیوری متراکم می‌شود چگالی هسته تعییر می‌کند. چگالی ناحیه متراکم شده در این مرحله برابر است با:

$$\rho_D = \frac{\rho_c}{(1 - \varepsilon_D)} \quad (6)$$

بنابراین مومتمون خطی، انرژی جنبشی گلوله و جرم مؤثر ناحیه پلاستیک هسته به ترتیب برآورند با:

$$L_c = 2\pi\rho_D \int_0^\xi \int_0^{h_p} V_1 \left(1 - \frac{r}{\xi}\right) dz dr = \frac{\pi\rho_c\delta}{6(1 - \varepsilon_D)\varepsilon_D} \xi^2 V_1 \quad (7)$$

$$T_c = \pi\rho_D \int_0^\xi \int_0^{h_p} V_1 \left(1 - \frac{r}{\xi}\right)^2 dz dr = \frac{\pi\rho_c\delta}{20(1 - \varepsilon_D)\varepsilon_D} \xi^2 V_1^2 \quad (8)$$

$$m_c = \frac{\pi\rho_c\delta}{10(1 - \varepsilon_D)\varepsilon_D} \xi^2 \quad (9)$$

**۸- ب محاسبه تنش‌ها و کرنش‌ها در رویه کامپوزیتی**  
رابطه بین تنش‌های اصلی و کرنش در کامپوزیت بافتی شده به صورت زیر است:

$$\begin{Bmatrix} \sigma_{11} \\ \sigma_{22} \\ \tau_{12} \end{Bmatrix} = \begin{Bmatrix} Q_{11} & Q_{12} & 0 \\ Q_{12} & Q_{11} & 0 \\ 0 & 0 & Q_{66} \end{Bmatrix} \begin{Bmatrix} \varepsilon_x \\ \varepsilon_y \\ \gamma_{xy} \end{Bmatrix} \quad (1)$$

که در آن  $Q_{ij}$  اجزاء ماتریس سفتی است.

$$\varepsilon_x = z \frac{\partial^2 w}{\partial x^2} = z \frac{4\delta}{\xi^2 (1 - \frac{2r_p}{\xi})^2} \left(1 - \frac{2y}{\xi}\right)^2 \quad (2)$$

$$\varepsilon_y = z \frac{\partial^2 w}{\partial y^2} = z \frac{4\delta}{\xi^2 (1 - \frac{2r_p}{\xi})^2} \left(1 - \frac{2x}{\xi}\right)^2 \quad (3)$$

$$\gamma_{xy} = 2z \frac{\partial w}{\partial x} \frac{\partial w}{\partial y} = z \frac{8\delta}{\xi^2 (1 - \frac{2r_p}{\xi})^2} \left(1 - \frac{2y}{\xi}\right) \left(1 - \frac{2x}{\xi}\right) \quad (4)$$

کرنش‌ها را می‌توان برای لبه بیرونی پرتالیه مثلاً مختصات محاسبه نمود. همچنین بیشترین مقدار تنش‌ها در بالا یا پایین رویه‌های کامپوزیتی یعنی  $z = \pm h/2$  می‌افتد. تنش‌ها توسط ماتریس سفتی قابل محاسبه می‌باشند:

$$\sigma_{11} = \frac{2h\delta}{\xi^2} \left[ \frac{1}{\left(1 - \frac{2r_p}{\xi}\right)^2} Q_{11} + Q_{12} \right] \quad (5)$$

$$\sigma_{22} = \frac{2h\delta}{\xi^2} \left[ \frac{1}{\left(1 - \frac{2r_p}{\xi}\right)^2} Q_{12} + Q_{11} \right] \quad (6)$$

$$\tau_{12} = \frac{4h\delta}{\xi^2 \left(1 - \frac{2r_p}{\xi}\right)} Q_{66} \quad (7)$$